

В. Л. 高尔巴奇著

光学精磨抛光机床上
工作构件的
运动学

84.0



国防工业出版社

九九重阳节

光学检测物光机上 工作构件的 运动学



编著：李国英等

光学精磨抛光机床上 工作构件的运动学

B. J. 高尔巴奇著

炎 静 譯



国防工业出版社

內 容 簡 介

本书中闡述了在現有光学精磨拋光机床上光学零件加工理論的运动学基础，并对研磨模和零件的相对运动作了詳細的运动学方面的研究。并指出了研究的方法。实际运用这些研究成果使我們能指出提高光学机床生产效率及改进光学零件加工质量的有效途径。

本书供光学工业方面的科学研究人員和工程技术人员使用；同样也可适用于大学生，以資在研究光学机床及光学零件加工工艺过程中作参考。

КИНЕМАТИКА РАБОЧИХ ОРГАНОВ ОПТИЧЕСКИХ
ШЛИФОВАЛЬНО-ПОЛИРОВАЛЬНЫХ СТАНКОВ

〔苏联〕 В.Л. Горбач

ОБОРОНГИЗ 1958

*

光学精磨拋光机床上工作构件的运动学

炎 靜 譯

*

國防工业出版社 出版

北京市书刊出版业营业登记证字第 074 号

新华书店北京发行所发行 各地新华书店經售

国防工业出版社印刷厂印裝

*

850×1168¹/₃₂ 印張 39/₁₆ 88 千字

1960年1月第一版 1965年2月第二次印刷 印数：2,251—4,300册

统一书号：15034·413 定价：（科七）0.60元

目 录

序言	4
所采用的符号	6
第一章 加工平面光学零件时研磨模运动的研究	7
1. 在不动撥杆的情况下研磨模和制品的角速度 之間的关系	7
2. 自由旋轉的研磨模在它沿制品的相对运动中的特性。 剛体在它沿不光滑平面的运动中的特性	16
3. 在动撥杆的情况下研磨模和制品的角速度 之間的关系	18
4. 在不动撥杆的情况下研磨模上各点在研磨模沿制品的相对 运动中的轨迹、速度和加速度	20
5. 当撥杆作圓运动时点的运动因素的确 定	22
6. 軌迹的图解作法，从动环节上各点的速度和加速度的图 解 求法	23
7. 当撥杆不動时，从动环节上的点的相对 轨迹的研究	50
8. 当各主动环节的角速度間成各种不同的比例关系时， 在撥杆所作的圓运动中，其中心的运动的研究	56
9. 当各主动环节角速度之間呈各种不同的比例关系时， 撥杆中心的摆动的研究	71
10. 提高平面光学零件的加工质量的措施	84
第二章 在加工零件的球形表面时，研磨模相对 制品的运动的研究	89
11. 在不动撥杆及动撥杆的情况下，研磨模和制品的角速度 之間的关系	89
12. 球形研磨模上各点的相对轨迹	96
13. 提高球形表面加工质量的措施	109
結論	110
附录 作平面平行运动的物体上各点的速度和加速度	112

序 言

光学机床上各工作构件的运动学是影响加工质量和机床工作效率的主要因素之一，它很早就引起了研究人員的注意。虽然如此，但直到現在在專門的文献中，甚至連有关光学机床上工作构件的机构中傳動比的問題也沒有得到有理論根据的解决。

各研究院寥寥无几的有关光学机床运动学的总结报告和論文大部分都是解决理論力学方面的問題或是實驗工作所得的結果。例如，Г. Д. 阿納諾夫● 副教授的兩篇論文（曾在ЛИТМО的文集中刊載过）中，曾闡述了怎样解决有关在給予了机床各工作构件角速度时模子上点的相对速度的問題；在这里，空間問題是用画法几何学的方法解决的。

关于玻璃的机械加工方面，在外国的各种文献中也沒有充足的有关这一問題的材料。Φ. 普列斯頓在“鏡面玻璃抛光用的机床理論和計算”● 一文中，着重地指出下面这样一个特性；即在不动的平行軸和研磨模軸沒有摩擦的情况下，研磨模趋向于与台面同步地轉动。但是，作者在證明此現象时，得到了一个有无限个解答的方程式，因而可能造成錯誤的、认为此問題不可能用数学来解决的見解。

K. 戴維在他所著的“精密光学玻璃加工指南”● 一书中，用簡短的篇幅闡述了光学零件机械加工的理論。作者首先論述了有关剛体平面平行运动在理論力学中的一般概念，然后用觀察和實驗証明，同时又闡述了研磨模和制品的均匀磨削和不均匀磨削的

● 关于新型研磨用具的計算（1953年，第九版）和精磨抛光机床 空間机构的运动学（1954年，第十一版）。

● 玻璃工艺学会杂志，1927年，第2期。

● 論自法文，1934年，ГНТИ。

五种情况；作者指出均匀的磨削仅在研磨模和鏡盘的相对运动为平行移动时才有可能，并且在研磨模能很好地定心时，才会有这种情况。作者这种想法不能称为理論；而是仅仅把它們从力学观点較正确地分类成某些觀察的論述。

在 B. 埃瓦里德的“光学仪器的制造和試驗指南”●一书中，于讲述光学机床之前，首先說明了某些有关光学零件机械加工的基本概念。在这些概念中說明了企图使研磨模的轉动減速、停止或者使其反向轉动以提高工作效率是得不到結果的，因为它引起了表面不均匀的磨削。这个論述一方面指出了从动环节自由轉动的意义，而另一方面則指出了对于这个問題的理論知識还很不够。值得一提的是 F. 特卫曼在其著作“透鏡和棱鏡的制造”（1944 年和 1952 年）中并沒有提出有关玻璃机械加工的任何理論。

在本书中作者准备解决有关光学机床上各工作构件所成机构的傳动比的基本問題及更彻底地研究其从动环节的运动。現有的文献在解决此类問題时，仅能供作参考。庫馬宁教授在这方面的建議和批評性的意見是具有特別重大价值的。因此作者在此向他深表感謝。

所采用的符号

- ω_e ——机床主轴（主动环节）的角速度；
 ω_{ii} ——当撇杆沒有摩擦时研磨模（从动环节）的角速度；
 ω'_{ii} ——考虑到铰链连接的摩擦时从动环节相对曲柄（或平衡杆）的角速度；
 ω_k ——曲柄的角速度；
 ω_b ——平衡杆的角速度；
 α ——研磨模軸和制品軸之間的夹角；
 M_{dv} ——原动力相对主动环节軸的力矩；
 M_{oopr} ——阻力相对从动环节軸的力矩；
 f ——研磨模沿制品的摩擦系数；
 f_1 ——铰链连接处的摩擦系数；
 d ——模子的外徑；
 d_1 ——环形研磨模的內徑；
 d_{cp} ——环形研磨模的平均直徑；
 δ ——球端軸頸的長徑；
 δ_{cp} ——端軸頸支承环的平均直徑；
 Q ——負荷压力；
 η ——各工作构件所成机构的效率；
 K, K_1 ——在圓运动及摆动时各主动环节角速度之間的比。

第一章 加工平面光学零件时 研磨模运动的研究

从运动学的观点看，光学机床各工作构件所成的机构可分为两类：1) 带有一个主动环节及 2) 带有两个主动环节。在每一类中又包括两种机构●：机床上各工作构件的旋转轴为平行的及相交的。

在此任一种机构中主要的主动环节为机床的垂直主轴及在其上所固定的研磨模或被加工的零件盘。辅助主动环节——撥杆——的主要功能是連續地改变研磨模和零件盘旋转轴之間的距离或夹角。撥杆的运动随其傳动的不同可以为摆动或連續的圓运动，而撥杆中心的轨迹可以为平面的或空間的曲綫。与撥杆成鉸鏈式連接的上部从动环节由于摩擦力而得到来自主要主动环节的轉动，而在輔助主动环节的运动是曲綫运动时，则上部从动环节的轉动来自輔助主动环节。撥杆运动的性质影响加工速度。在本章内研究到带有动撥杆和不动撥杆的机构，这些机构将平面平行运动傳給机床的各工作构件。

1 在不动撥杆的情况下研磨模和制品 的角速度之間的关系

在此种情况下机床的工作构件是模子。这些模子可看成为某种类型的端面摩擦傳动裝置，此处，下部模子是主动的，呈鉸鏈式連接于撥杆的上部模子則是从动的。在本书的各章中，我們將从动环节又称为研磨模，而将主动环节又称为被加工零件盘或者制品。

● 机构的类别决定其复杂性，而机构的种别决定研磨模的类型（平面模或是球面模）。

从下部模子到上部模子間运动的傳送有賴于摩擦力(图1),此摩擦力符合下式:

$$P \geq fQ,$$

式中 Q ——負荷;

f ——摩擦系数。

若将从动环节的运动看成是繞一不动几何軸線的純

轉動时, 則可认为: 不論是研磨还是抛光, 采用的是粗磨料还是細磨料, 从动环节的角速度并不随之而变。随着这些在一定程度上决定摩擦系数的因素而变的是最小負荷 Q 的值, 后者引起一定的摩擦力 P , 在此摩擦力的作用下, 从动环节的角速度根据机构在运动方面的特性有一定的值。加大負荷, 即加大摩擦力, 将不会加快从动环节的速度, 然而却将增加玻璃的磨削。

基于上述想法此种摩擦机构的傳动数仅用运动学的方法即可决定。实际上設下部主动模子以角速度 ω_0 繞着通过 O_1 点的軸線旋轉(图2);則小的从动模子将以某角速度 ω_m 繞着 O_2 軸进行

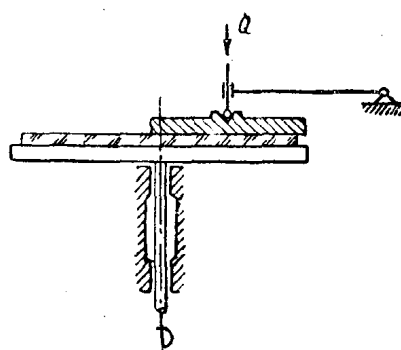


图 1

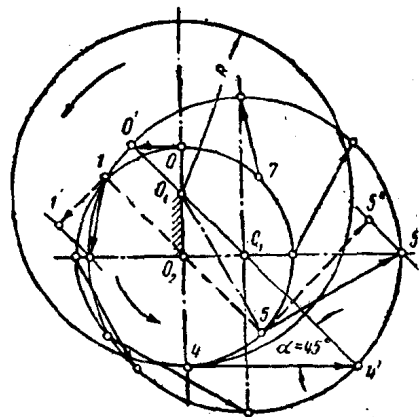


图 2

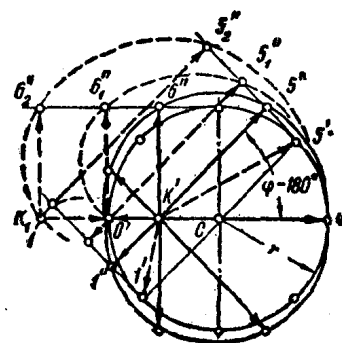


图 3

轉動。标出两个环节的公有点 O_1 、 1 、 \dots 、 7 。这些点是在以 O_1 为
中心的圓內，并因它們到 O_1 有着不同的距离而有不同的速度●。

同时，这些点因属于从动环节，同时至中心 O_2 的距离都相等，故应有大小互等并相切于以 O_2 为
中心的圓的速度。此种运动之所以可能，是由于各模子的相对滑动所致，并且，从动环节的
轉動显然地取决于主动环节各点的速度在以 O_2 为
中心的圓的切
綫方向上的分速（参看图 5）。

可以証明，这些分速向量的端点位于蝎形螺旋綫上。我們首先对于以 K' 为极点的速度图来说明（图 3）。誠然，如果将点 1 及 5（图 2）重合于图 3 上的 K' 点，则：

$$\overrightarrow{55''} = \overrightarrow{K'5''}; \overrightarrow{55'} = \overrightarrow{K'5'}$$

及 $K'5'' = r + K'C\cos\varphi;$

在极座标中，这就是蝎形螺旋綫的方程式

$$\rho = a + b\cos\varphi.$$

从图 3 中可以看出，螺旋綫的任一直徑都等于我們在半徑为 R 的模子上所选各点的速度图上的圓的直徑 $2r$ ，并且此速度图的极点（ K' 点）同时也就是蝎形螺旋綫的极点（即速度图上那些速度的切綫分速图的极点）。

由此，同样也可得出，从动环节直徑端头上两点的速度底切綫分速和，及这些分速頂点間的长度是常量，不随各模子旋转軸間的距离而变（参看图 4，图中在模子上所标出的八个点成对地都重合于 2 及 6 两点，同时参看图 3，在图 3 上有着以 K' 、 O' 和 K_1 为极点的蝎形螺旋綫的图形）。由此可得出結論，即在模子本身上速度的切綫分速向量的端点也在蝎形螺旋綫上（图 5），此蝎形螺旋綫的任一直徑即等于主动环节上各点的速度情况图上的圓的直徑（ $D = O'4'$ ）。（如果将速度的比例尺取为与主动环节的半徑 R 的比例尺相等时，则仅仅用丁字尺及 45° 的等腰三角板就不难

● 这些速度的向量是按附录中所述的方法画出来的。

全部画出此八个点的速度)。

在觀察图 5 时，我們作出下面的結論，即两个环节均以同一角速度轉動，因为从动环节上 2 及 6 两点的互等的速度就等于主动环节上同样这些点的速度的切綫分速，而三角形 $44'0_1$ 与 $22'0_2$ 相似。換句話說，由于一个环节相对另一个有滑动，以致有如在拉平直徑端头上两点的速度，因此，从动环节上所标出的八个点中任意一点的速度 v_m 即等于主动环节上所取同样那两点的速度的切綫分速之和的一半。

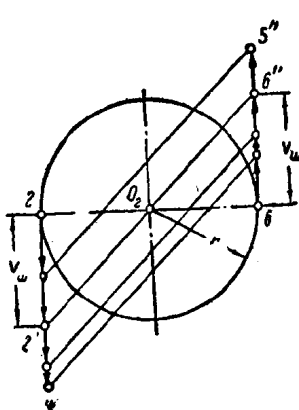


图 4

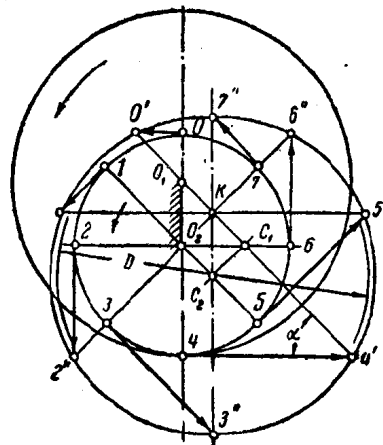


图 5

如果我們將从动环节看成是由 $0-4, 1-5$ 等各杆所組成的話；且这些杆以相同的角速度繞着自己的瞬时旋轉中心 (МЦВ) 进行轉動 (从图 4 中即可得出)，此角速度又等于主动环节的角速度时，我們也会得出此种結論来。事实上也是这样，即因为模子系剛体，而真正的旋轉中心只有一个—— O_2 点，从动环节的各点仅保留平面运动的旋轉部分 (此部分与极点的选择无关)，由于存在滑动而失去了平面运动的平行移动部分。

換言之，假設我們將直徑 $3-7$ 当做杆，及此直徑的瞬时旋轉中心是 K 点，那么，在選擇 O_2 点作为极点时将有： $\overrightarrow{v_3} = 33'' = \overrightarrow{v_{O_2}} + \overrightarrow{O_2C_2}$ 。然而因为 O_2 点是固定点，其速度等于零，所以实际上

$$\vec{v}_3 = \vec{v}_{c_2} = \vec{22}' = \vec{66}'' = \vec{v}_{m_0}$$

用其他方法也可得出同样的結果。假設，从动环节上仅有的一点是經常地与主动环节相接触；那么，即或当主动环节的轉動是均匀时，从动环节也将不均匀地旋轉；因为从动环节上的一点与主动环节上具有各种不同速度的各点順次相触。正如从图 2 中看出，此运动的周期相当于从动环节轉完一周的时间（即点的速度从极小值变到极大值，而后再回到极小值的时间）。实际上从动环节上所有的点 0、1、2、……8 都处于相触的状态中，經過同一時間从动环节也将轉完一周，但其运动由于有滑动而将是均匀的。这些运动之間的关系可表示如下：

$$S = \int_0^T v_{kac} dt = \int_0^T f(t) dt = v_m T,$$

式中 S ——从动环节上的点在轉完一周后所行的路程；

$v_{kac} = f(t)$ ——主动环节上点的速度之切綫分速；

v_m ——从动环节上点的速度；

T ——研磨模轉动一周所需的时间。

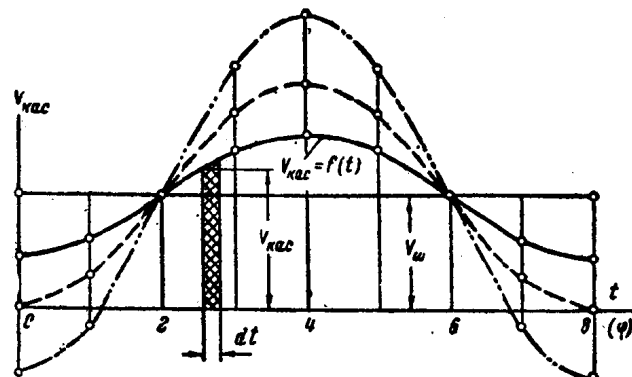


图 6

在用图解法时，上面所写出的路程方程式是用矩形面积等于曲綫 $v_{kac} = f(t)$ 、横座标軸和端头纵座标所圍面积的方法表示出来的（图 6）；曲綫 $v_{kac} = f(t)$ 是根据图 3 上的极坐标圖对各环节模

旋轉軸之間三种不同的距离画出来的。不論各环节旋轉軸之間的距离是多少，直接算出这个面积，即可得到同样結果。如果将这面积与矩形面积相比較的話，我們可以找到矩形高度，此高度即为从动环节上所标出各点的速度 v_m 。

在用解析法时， $v_{mac} = \rho = a + b\cos t$ (参看图 3 和图 6)，因而：

$$S = v_m T = \int_0^T (a + b\cos t) dt = a \int_0^T dt + b \int_0^T \cos t dt,$$

从而 $v_m T = a T + b |\sin t|_0^T = a T$ (T 相当于 $\varphi = 360^\circ$, $\sin T - \sin 0 = 0$)，所以， $v_m = a = r = K' 6''$ 。

在导出所有这些公式时，只觀察了半徑为 r 的无限狭窄圆环的运动，然而，显然这些結論对机构的任意一环形或实心环节都是适合的，因为可将实心模子分为很多个无限狭窄的环，及对他们中每一个都重复所述的討論。

用图解法来决定傳动数能使我們闡明端面摩擦机构的物理意义。如果不去闡明其物理意义的話，那么便可以較容易地得出最結論来。

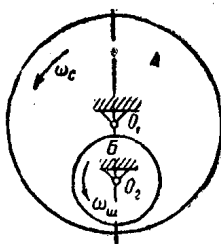


图 7

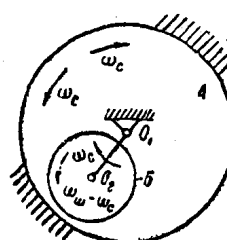


图 8

假設主动环节 A 以角速度 ω_c 繞 O_1 軸轉動，而从动环节 B 以角速度 ω_m 繞 O_2 軸轉動 (图 7)。将角速度 ω_c 加在整个机构上，则环节 A 即呈靜止状态 (图 8)，支杆 O_1O_2 将以角速度 ω_c 进行轉動，而环节 B 因与中心 O_2 一同运动，故相对环节 A 将以角速度 $\Omega = \omega_m$

$-\omega_c$ 进行旋转。如果将中心 O_2 的运动分解成为两个互相垂直的方向，则环节 B 将不能旋转——而是在这两个方向上作平行移动。然而我们知道，两个平行移动在合成后所产生的新的运动同样也将是一平行移动；由此可得：

$$\Omega = \omega_m - \omega_c = 0 \text{ 或 } i = \frac{\omega_c}{\omega_m} = 1。$$

在有铰链的情况下，摆杆与环节 B 连接处所产生的摩擦力引起环节 B 的旋转。在此种情况下，三种运动相加起来，其中一种是旋转，因此环节 B 的运动不是平行移动了，所以 $\Omega = \omega_m - \omega_c \neq 0$ 。

当我们要决定端面摩擦机构的实际传动比时（此时将在从动环节与摆杆的铰链连接处所产生的摩擦力考虑在内），我们会发觉由于各环节的相对滑动，主动环节的附加动力不足以克服作用于从动环节的附加阻力。换句话说，即摆杆的摩擦引起从动环节有效功率的损耗，也就是说引起从动环节角速度的损失，这是因为有效阻力（即摩擦力）之值系不变之值所致。

因此，如果摆杆没有摩擦时，有效功率为 $N_{\text{пол}} = M_{\text{сопр}} \omega_m$ ，而当有摩擦时，功率就要小些：

$$N'_{\text{пол}} = M_{\text{сопр}} \omega'_m \quad (\text{取 } \omega'_m < \omega_m)。$$

显然，若无效阻力的力矩（即摆杆的摩擦力矩） $M_{\text{вр}} = M_n$ 越大时， ω'_m 就越小。

同样也很明显，即当 $M_n \gg M_{\text{сопр}}$ 及

$N_{\text{вр}} = N_{\text{пол}} = M_{\text{сопр}} \omega_m$ 时 $\omega'_m = 0$ 。由此得出结论：无效阻力的功率不论 M_n 为何值，都可用下列方程式表示：

$$N_{\text{вр}} = M_n \omega_m。$$

不难证明，动力力矩就等于有效阻力的力矩，即：

$$M_{\text{дн}} = M_{\text{пол}} = M_{\text{сопр}}。$$

诚然，当存在压力 ϱ 时，在各环节的所有接触点处便产生摩擦力，这些摩擦力不论从动环节的形状如何及摩擦力是怎样分布

的，总可化成一个力 $P = fQ$ ，这个力是作用在不动点 O_2 上（从动环节的旋转轴即通过此点），和一个 $\bar{F} - \bar{F}$ 力偶矩 M_{conp} 。因此，推动上部环节的力应化成力偶矩 $M_{\text{av}} = M_{\text{conp}}$ （反方向的），也就是主动环节所供出的力同样也化成一个力和一个力偶，但只有力偶是属于动力类的，因为这个力与撥杆（旋转轴）的反作用力恰好平衡的缘故。

下面我們利用机构在稳定运动时的功率平衡方程式：

$$N_{\text{av}} = N'_{\text{pol}} + N_{\text{sp}}$$

或 $M_{\text{av}}\omega_c = M_{\text{pol}}\omega'_m + M_n\omega_m;$

但是 $M_{\text{av}} = M_{\text{conp}}$ ，故当撥杆沒有摩擦时

$$M_{\text{conp}}\omega_c = M_{\text{conp}}\omega_m,$$

由此可得 $\omega_m = \omega_c$ ，这就是单用运动学的方法早已得出的結論。

因此，在一般情况下，功率平衡方程式可写成：

$$M_{\text{conp}}\omega_c = M_{\text{conp}}\omega'_m + M_n\omega_c,$$

那么，从动环节的实际角速度：

$$\omega'_m = \frac{M_{\text{conp}} - M_n}{M_{\text{conp}}} \omega_c. \quad (1)$$

当 $M_n = M_{\text{conp}}$ 时，功率平衡方程式的形式为： $M_{\text{conp}}\omega_c = M_{\text{conp}}\omega_c + M_{\text{conp}}\omega_c$ ，即功率 $N_{\text{sp}} = M_{\text{conp}}\omega_c = N_{\text{av}}$ ’似乎对于向反方向轉動（从动环节因此而停止）的另一主动环节而言，随之也产生了 N_{sp} 的誤差，这是因为撥杆的摩擦力具有与从动环节相同之角速度所致。一般地可将从动环节設想为从上部及从下部介于两个环节之間，当 $M_{\text{av}} = M_{\text{conp}} = \text{常数}$ 及当影响从动环节旋转速度的 M_n 为变量时，这两个环节以相同的速度 ω_c 作不同方向的旋转。

从方程式（1）中可看出：从动环节的实际角速度随撥杆的摩擦力矩而变（如果没有其他阻力作用在从动环节上的話）。当 $M_n = 0$ 时角速度 $\omega' = \omega_m = \omega_c$ ，而当 $M_n = M_{\text{conp}}$ 时角速度 $\omega'_m = 0$ 。

力矩之值 $M_n > M_{\text{conp}}$ 是沒有任何意义的，正如由于各环节有相对滑动而使 $M_{\text{av}} > M_{\text{conp}}$ 一样。因此，产生了从动环节运动的不稳定，这种不稳定是引起阻滯的各种偶然阻力作用在从动环节

上所致的后果，即从动环节的角速度因此而产生变化（此时主动环节的速度不变）。在用圆柱滚子作普通摩擦传动的情况下，当作用于从动滚子上的阻力与主动滚子的轮缘相距很近时，也可能发生类似的現象。在尋常的条件下，附加阻力可改变两个环节的速度之值，但不改变速度在运动（滚动）方面的性质，所以，在这种情况下，仅与几何尺寸有关的傳动数保持不变。

在公式（1）中的分式部分系机床各工作构件所成机构的效率。誠然，

$$\eta = \frac{N_{\text{пол}}}{N_{\text{дв}}} = \frac{M_{\text{сопр}} \omega'_{\text{м}}}{M_{\text{сопр}} \omega_{\text{в}}},$$

由此得出

$$\omega'_{\text{м}} = \eta \omega_{\text{в}} \quad (2)$$

$$\text{及因而} \quad \eta = \frac{M_{\text{сопр}} - M_{\text{н}}}{M_{\text{сопр}}} = 1 - \frac{M_{\text{н}}}{M_{\text{сопр}}}.$$
(3)

在这里，机构的效率同样也可称为研磨模角速度的减低系数，此角速度的减低是由于在鉸鏈連接处的摩擦阻力所致。

根据各种确定摩擦力矩 M_{n} 和 $M_{\text{сопр}}$ 的方法的不同，系数 η 可計算到各种不同的准确度。例如：如果认为压力 Q 是均匀分布于接触表面时，则可像对于实心承座那样，来求出实心研磨模的摩擦力矩：

$$M_{\text{сопр}} = \frac{f}{3} Q d,$$

而对于环形研磨模——則像对于环形承座那样：

$$M_{\text{сопр}} = \frac{f}{3} Q \frac{d^3 - d_1^3}{d^2 - d_1^2},$$

或更简单一些，即

$$M_{\text{сопр}} = f Q \frac{d_{\text{cp}}}{2}.$$

对于撥杆的端軸頸也是这样，由于軸向載荷而产生的摩擦力矩：

$$M_1 = f_1 Q \frac{d_{\text{cp}}}{2},$$